

*В. П. Горьков*<sup>1</sup>, *Л. Н. Лукьянова*<sup>2</sup>, *С. А. Шатков*<sup>3</sup>

## **ПОЗИЦИОННОЕ УПРАВЛЕНИЕ ДВИЖЕНИЕМ КОСМИЧЕСКОГО АППАРАТА С ГИБРИДНОЙ ДВИГАТЕЛЬНОЙ СИСТЕМОЙ \***

### Введение

Рассматривается задача перелета на заданную кеплеровскую орбиту управляемого космического аппарата (КА), динамика которого описывается математической моделью движения при гравитационном и световом воздействии на КА Солнца. Двигательная система предполагается гибридной, включающей реактивный двигатель, имеющий запас горючего, и солнечный парус. Управление гибридной двигательной системой позволяет уменьшать расход топлива в процессе перелета. Приведен класс позиционных управлений радиальной и трансверсальной тягой двигательной системы, зависящий от параметров, который решает задачу управляемости на заданную кеплеровскую орбиту. Позиционные управления получены в аналитической форме. Приведены результаты расчетов позиционного управления и траекторий движения для различных тестовых параметров процесса и вариантов целевых траекторий КА.

### 1. Постановка задачи управления движением КА с реактивной тягой при одном притягивающем центре

Уравнения движения КА в плоскости орбиты имеют следующий вид [1-3]:

$$\dot{r}(t) = V_r, \quad \dot{V}_r(t) = V_\theta^2 r^{-1} - \frac{h_1^2}{p_1} r^{-2} + \bar{U}_r, \quad (1)$$

$$\dot{\theta}(t) = V_\theta r^{-1}, \quad \dot{V}_\theta(t) = -V_r V_\theta r^{-1} + U_\theta. \quad (2)$$

$$r(0) = r_0, \quad V_r(0) = V_{r0}, \quad \theta(0) = \theta_0, \quad V_\theta(0) = V_{\theta0}. \quad (3)$$

<sup>1</sup>С.н.с факультета ВМК МГУ имени М.В. Ломоносова, e-mail: v-p-gorkov@yandex.ru.

<sup>2</sup>Н.с факультета ВМК МГУ имени М.В. Ломоносова, e-mail: lln@cs.msu.ru.

<sup>3</sup>аспирант факультета ВМК МГУ имени М.В. Ломоносова, e-mail: zuky1@mail.ru.

\*Работа выполнена при частичной поддержке госбюджетной темы НИР № 3.1.21 ВМК МГУ.

Здесь обозначено:  $r, \theta$  - полярные координаты;  $V_r, V_\theta$  - радиальная и тангенциальная составляющие скорости;  $\bar{U}_r, U_\theta$  - радиальная и тангенциальная составляющие вектора тяги;  $\theta = \chi + \gamma$ ,  $\chi$  - истинная аномалия,  $\gamma$  - угловая постоянная, которая определяет угол между линией апсид и осью OX,  $h_1$  - угловой момент,  $p_1$  - фокальный параметр,  $\frac{h_1^2}{p_1} = \mu$ ,  $\mu$  гравитационный параметр притягивающего тела, который мы считаем равным единице.

Рассматривается задача синтеза законов управления движением КА при наличии одного притягивающего центра с гравитационным параметром  $\mu$ , обеспечивающих его перелет на заданную кеплеровскую орбиту с параметрами  $e_2, p_2, h_2$ ,  $\frac{h_2^2}{p_2} = \mu$ , при выполнении ограничения  $r(t) \geq R_0$ ,  $R_0 > 0$ . Здесь  $e_2$  - эксцентриситет,  $h_2$  - угловой момент системы,  $p_2$  - фокальный параметр заданной орбиты.

Решение этой задачи позволяет получить знания о необходимых ресурсах для управляемости системы (1)-(3) при движущейся целевой точке.

## 2. Построение позиционного управления движением КА с реактивной тягой

Решение задачи синтеза проведем с использованием следующих функций, фигурирующих в законах Кеплера для параметров  $e_2, p_2, h_2$  целевой траектории:

$$\omega_1 = r(1 + e_2 \cos \theta) - p_2, \text{ (уравнение конического сечения),}$$

$$\omega_2 = r^2 \dot{\theta}(t) - h_2 \text{ (закон площадей).}$$

### 2.1. Выбор управления $\bar{U}_r$ , обеспечивающего фазовое ограничение $r(t) \geq R_0$ , $R_0 > 0$

Чтобы решение системы (1),(2) удовлетворяло фазовому ограничению  $r(t) \geq R_0$ ,  $R_0 > 0$ ,  $t \geq 0$ , выберем управление  $\bar{U}_r$  в форме гарантирующей выполнение этого ограничения, следуя подходу работы [3]. Рассмотрим второе уравнение (1), записанное с обозначением  $\Phi = V_\theta^2 r^{-1} - \frac{h_1^2}{p_1 r^2}$  в виде:  $\dot{V}_r(t) = \Phi(t) + \bar{U}_r$ , и выберем управление  $\bar{U}_r$  в форме

$$\bar{U}_r = U_r + A \operatorname{tg}(br - r_1), \quad (4)$$

где  $b, r_1$  положительные константы,  $U_r$  - параметр управления.

**Лемма 1.** *Управление (4) при выборе констант  $b, r_1$  в форме  $b = \frac{\varepsilon}{2R_0}$  и  $r_1 = \frac{\pi + \varepsilon}{2}$ ,  $\varepsilon > 0$  - малый параметр, гарантирует выполнение соотношения для фазовой переменной  $r(t)$  :*

$$R_0 < r(t) < R_0 \left(1 + \frac{2\pi}{\varepsilon}\right), \quad \varepsilon > 0. \quad (5)$$

**Доказательство.** Подставив управление (4) во второе уравнение системы

(1), выразив из него  $r(t)$  и выписав для него оценки, имеем

$$\frac{r_1}{b} - \frac{\pi}{2b} < r(t) = \frac{r_1}{b} + \frac{1}{b} \operatorname{arctg}\left(\frac{\dot{V}_r(t) - \Phi(t) - U_r(t)}{A}\right) < \frac{r_1}{b} + \frac{\pi}{2b}.$$

Выбирая константы  $b, r_1$  в виде  $b = \frac{\varepsilon}{2R_0}$  и  $r_1 = \frac{\pi + \varepsilon}{2}$ , получаем (5).  $\square$

## 2.2. Синтез законов управления $U_r$ и $U_\theta$

Учитывая (4), рассмотрим задачу выбора управлений  $U_r, U_\theta$  с целью приведения траектории системы :

$$\dot{r}(t) = V_r, \quad \dot{V}_r(t) = V_\theta^2 r^{-1} - \frac{h_1^2}{p_1} r^{-2} + U_r + A \operatorname{tg}(br - r_1), \quad (6)$$

$$\dot{\theta}(t) = V_\theta r^{-1}, \quad \dot{V}_\theta(t) = -V_r V_\theta r^{-1} + U_\theta. \quad (7)$$

на кеплеровскую орбиту с заданными параметрами  $e_2, p_2, h_2$  и последующего движения фазового вектора системы в ее окрестности при начальных условиях (3) системы (6),(7). Синтез законов управления  $U_r$  и  $U_\theta$ , проведем опираясь на метод АКАР [3].

Выберем в качестве инвариантных многообразий  $\omega_1(t) = 0$  и  $\omega_2 = 0$ . В полярных координатах функции  $\omega_1(t) = 0$  и  $\omega_2 = 0$  с учетом инварианта

$$\omega_1 = r(1 + e_2 \cos \theta) - p_2$$

имеют вид

$$\dot{\omega}_1(t) = (1 + e_2 \cos \theta) \dot{r}(t) - e_2 r \dot{\theta}(t) \sin \theta = V_r(1 + e_2 \cos \theta) - e_2 V_\theta \sin \theta, \quad (8)$$

$$\dot{\omega}_1 = \dot{V}_r(1 + e_2 \cos \theta) - V_r e_2 \sin \theta \dot{\theta} - \dot{V}_\theta e_2 \sin \theta - V_\theta e_2 \cos \theta \dot{\theta},$$

и

$$\omega_2 = r^2 \dot{\theta}(t) - h_2 = r V_\theta - h_2. \quad (9)$$

Сформируем следующие инвариантные соотношения:

$$\dot{\omega}_1(t) + \frac{2}{T_1} \dot{\omega}_1(t) + \frac{1}{T_1^2} \omega_1(t) = 0, \quad (10)$$

и

$$T_2 \dot{\omega}_2(t) + \omega_2(t) = 0. \quad (11)$$

Заметим, что решение (10) имеет вид:

$$\omega_1(t) = e^{-\frac{t}{T_1}} (\omega_1(0) + \dot{\omega}_1(0)t) \rightarrow_{t \rightarrow \infty} 0.$$

Тогда, подставляя  $\omega_1, \dot{\omega}_1, \ddot{\omega}_1$  (8) и  $\omega_2$  (9) в (10) и (11), получаем следующие равенства:  $U_\theta = -\frac{\omega_2}{r T_2}$ ,

$$\begin{aligned} & \dot{V}_r(1 + e_2 \cos \theta) - V_r e_2 \sin \theta \dot{\theta} - \dot{V}_\theta e_2 \sin \theta - V_\theta e_2 \cos \theta \dot{\theta} + \\ & + \frac{2}{T_1} (V_r(1 + e_2 \cos \theta) - e_2 V_\theta \sin \theta) + \frac{1}{T_1^2} (r(1 + e_2 \cos \theta) - p_2) = 0. \end{aligned}$$

Подставляя (6),(7) в последнее равенство, и выражая из него  $U_r, U_\theta$  имеем:

$$U_r = \frac{1}{1 + e_2 \cos \theta} \left[ e_2 \sin \theta \left( -\frac{\omega_2}{r T_2} \right) - \frac{V_\theta^2}{r} + \frac{(1 + e_2 \cos \theta) h_1^2}{p_1 r^2} \right]$$

$$-(1 + e_2 \cos \theta)A \operatorname{tg}(br - r_1) - \frac{2}{T_1} \dot{\omega}_1(t) - \frac{1}{T_1^2} \omega_1(t), \quad (12)$$

и

$$U_\theta = -\frac{\omega_2}{rT_2}. \quad (13)$$

В силу соотношений (10),(11) через некоторое время, которое определяется выбором положительных параметров  $T_1, T_2$ , ([3], стр.141) управления (12),(13) будут иметь вид

$$\begin{aligned} U_r &= \frac{1}{1 + e_2 \cos \theta} \left[ -\frac{V_\theta^2}{r} + \frac{(1 + e_2 \cos \theta)h_1^2}{p_1 r^2} - (1 + e_2 \cos \theta)A \operatorname{tg}(br - r_1) \right] = \\ &= -\frac{V_\theta^2}{p_2} + \frac{h_1^2}{p_1 r^2} - A \operatorname{tg}(br - r_1). \end{aligned} \quad (14)$$

и

$$U_\theta = -\frac{\omega_2}{rT_2} = 0. \quad (15)$$

При подстановке (14) во второе уравнение (1), учитывая (9) имеем:

$$\dot{V}_r(t) = \frac{V_\theta^2}{r} - \frac{V_\theta^2}{p_2} = \frac{V_\theta^2}{r} - \frac{h_2^2}{r^2 p_2}.$$

Т.о. показано, что траектория системы (6),(7) при управлениях (12),(13), через конечное время приходит в окрестность заданной параметрами  $e_2, p_2, h_2$  кеплеровской орбиты и движется в её окрестности согласно параметрам требуемого закона площадей.

### 2.3. Оценка времени регулирования

Приведем лемму об оценке времени регулирования устойчивой линейной системы [5]:

$$\dot{x} = Ax. \quad (16)$$

Пусть  $x(t) = x(x^0, t)$  - решение уравнения (16) при начальном условии  $x(0) = x^0$  и  $\bar{t}_p$  - минимальное время, по истечении которого  $|x(t)|$  не превышает некоторой заданной величины  $\Delta$ :

$$\bar{t}_p = \min\{t : |x(t)| \leq \Delta, \forall t \geq \bar{t}\}.$$

Отметим, что  $\bar{t}_p$  при соответствующем выборе начального условия не совпадает со временем регулирования  $t_p$ , принятым в теории управления линейных систем. Тем не менее  $\bar{t}_p$  также будем называть временем регулирования систем (16) при начальном условии  $x(0) = x^0$ .

**Лемма 2.** Пусть матрица  $B$  является решением уравнения Ляпунова  $A^T B + BA = -I$  ( $I$  - единичная матрица),  $\lambda_m$  и  $\lambda_M$  - минимальное и максимальное собственные значения матрицы  $B$ . Решение  $x(t) = x(x^0, t)$  уравнения (16) при начальном условии  $x(0) = x^0$  удовлетворяет условию

$$\frac{V_0}{\lambda_M} e^{-t/\lambda_m} \leq |x|^2 \leq \frac{V_0}{\lambda_m} e^{-t/\lambda_M}, \quad (17)$$

где  $V_0 = x^{0T} Bx^0$ , и время регулирования  $\bar{t}_p$  определяется соотношением

$$\bar{t}_p = \lambda_M \ln \frac{V_0}{\lambda_m \Delta^2}. \quad (18)$$

Верхняя оценка времени регулирования, полученная на основании леммы 2 для уравнения (10), определяется соотношением

$$\bar{t}_{p1} = \ln \frac{T_1(\omega_1(0))^2 + 0.5\omega_1(0)\dot{\omega}_1(0)(T_1^2 - 1)}{\Delta^2}. \quad (19)$$

Для уравнения (11) время регулирования  $\bar{t}_{p2}$  определяется соотношением

$$\bar{t}_{p2} = T_2 \ln \frac{\omega_2(0)}{\Delta}. \quad (20)$$

Итоговая оценка для времени регулирования  $\bar{t}_p$  уравнений (11),(12), согласно (19),(20) определяется соотношением:

$$\bar{t}_p = \max \left( \ln \frac{T_1(\omega_1(0))^2 + 0.5\omega_1(0)\dot{\omega}_1(0)(T_1^2 - 1)}{\Delta^2}, T_2 \ln \frac{\omega_2(0)}{\Delta} \right). \quad (21)$$

Отметим, что параметры  $T_i > 0, i = 1, 2$  задаются пользователем.

Полученные в п.2,3 свойства управлений (12),(13) и оценка времени регулирования (21) позволяют сформулировать следующую теорему.

**Теорема 1.** *Траектория системы (6),(7) при управлениях (12),(13), через конечное время (21) приходит в окрестность заданной параметрами  $e_2, p_2, h_2$  кеплеровской орбиты и двигается в её окрестности согласно параметрам требуемого закона площадей.*

#### 2.4.1. Результаты численного моделирования при целевой эллиптической орбите

На рис. 1-9 приведены результаты моделирования системы управления КА с параметрами целевой эллиптической орбиты:  $e = 0.5, p = 0.75, h = 0.86$ , при параметрах управления  $T_1 := 0.5, T_2 = 0.5$ , и начальных условиях  $r(0) = 1.17, V_r(0) = 0, \theta(0) = 0, V_\theta(0) = 1.2$ .

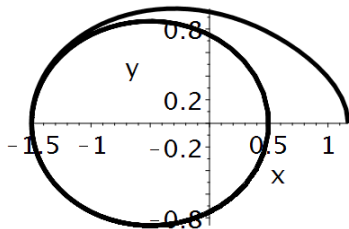


Рис. 1. Фазовый портрет  $e = 0.5$

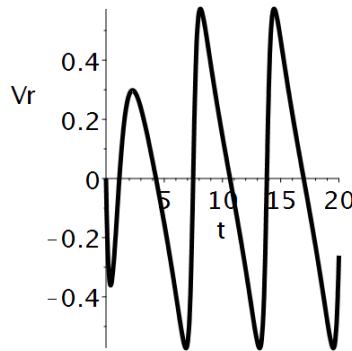


Рис. 2.  $\dot{r}(t) = V_r(t)$

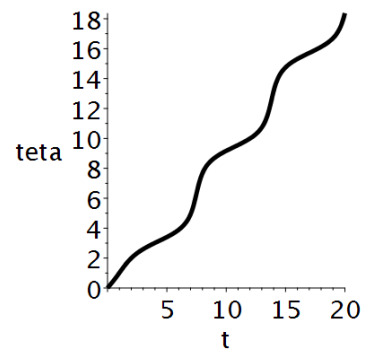


Рис. 3.  $\theta(t)$

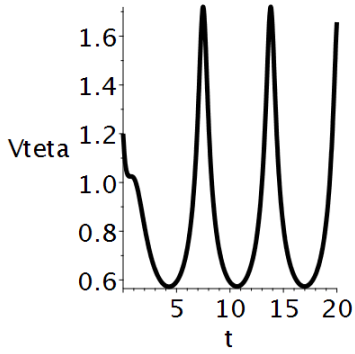


Рис. 4.  $V_\theta(t)$

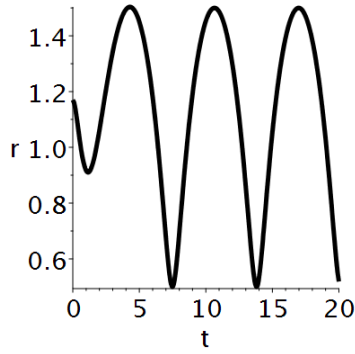


Рис. 5.  $r(t)$

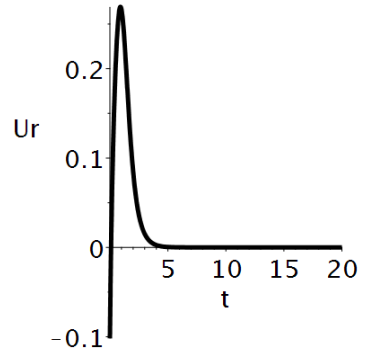


Рис. 6.  $U_r(t)$

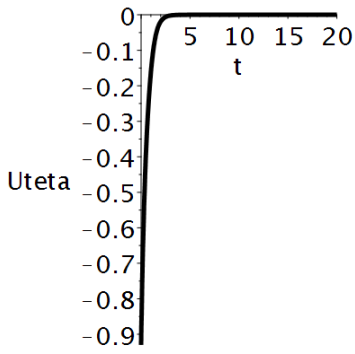


Рис. 7.  $U_\theta(t)$

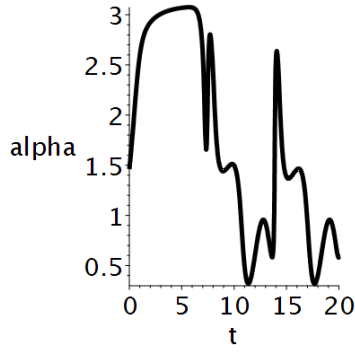


Рис. 8.  $\alpha(t)$

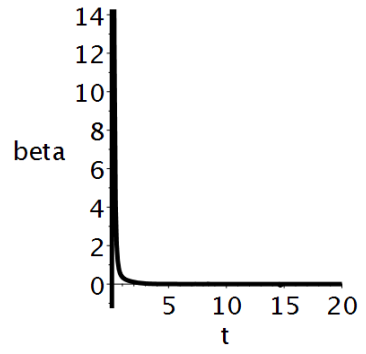


Рис. 9.  $\beta(t)$

### 2.4.2. Результаты численного моделирования при целевой гиперболической орбите

На рис. 10-18 приведены результаты моделирования системы управления КА с параметрами целевой гиперболической орбиты:  $e = \sqrt{2}, p = 1, h = 1$ , при параметрах управления  $T_1 = 1, T_2 = 1$ , при начальных условиях  $r(0) = 1.17, V_r(0) = 0, \theta(0) = 0, V_\theta(0) = 1.2$ .

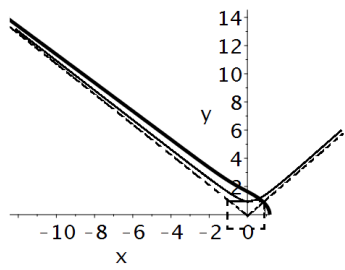


Рис. 10. Фазовый портрет

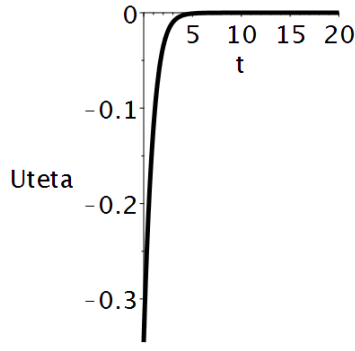


Рис. 11.  $U_\theta(t)$

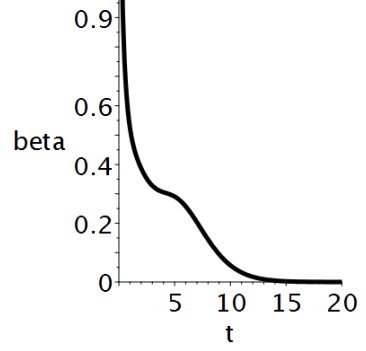


Рис. 12.  $\beta(t)$

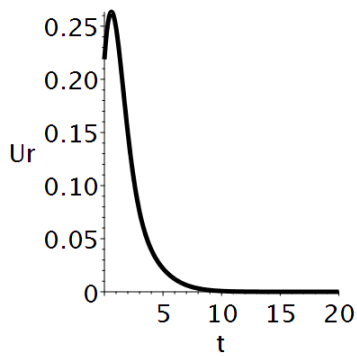


Рис. 13.  $U_r(t)$

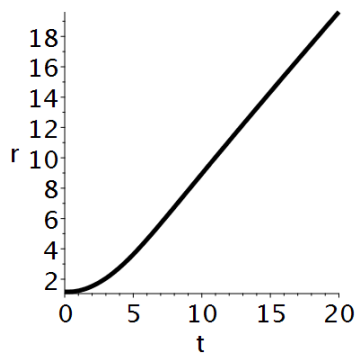


Рис. 14.  $r(t)$

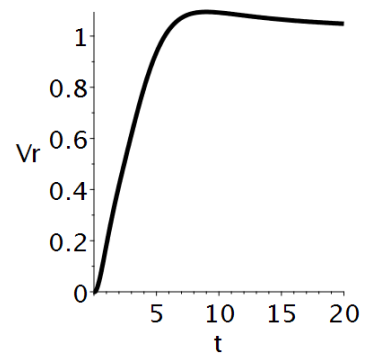


Рис. 15.  $V_r(t)$

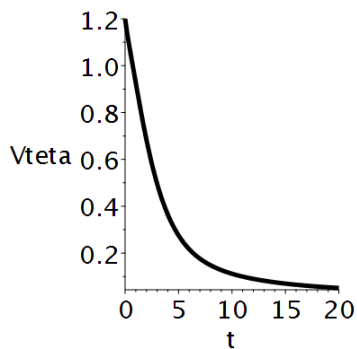


Рис. 16.  $V_\theta(t)$

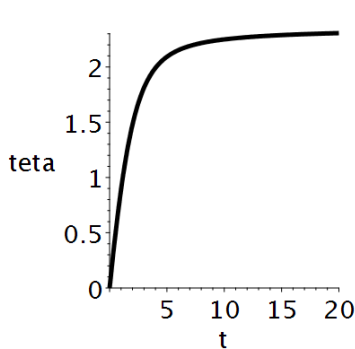


Рис. 17.  $\theta(t)$

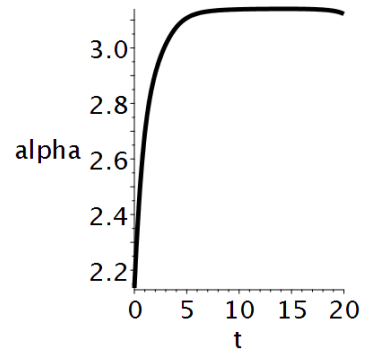


Рис. 18.  $\alpha$

### 3. Использование тяги солнечного паруса в гибридном варианте двигательной установки

Работам, посвященным движению КА с солнечным парусом посвящены многие фундаментальные работы, из которых отметим [1,2,4]. Рассматривая солнечный парус как двигательную систему, мы рассматриваем вопрос о ее вкладе в реализацию позиционного управления (12),(13) в гибридном варианте, имея в виду возможность одновременной работы реактивной тяги и тяги солнечного паруса. Позиционное управление (12),(13) не требует дополнительных коррекций при движении к целевой орбите и движении по ней. Оно зависит от начальных условий (3), параметров целевого множества  $\alpha_2, p_2, h_2$  и параметров желательного времени перелета  $T_1, T_2$ . Его реализация с помощью гибридной двигательной установки, включающей реактивный двигатель и солнечный парус, представляет, например, интерес с точки зрения экономии топлива. Другие примеры - оценка параметров управления в ситуации, при которой тяга солнечного паруса используется только в формировании тангенциальной компоненты управления, либо в режиме полного отключения реактивной тяги.

Рассмотрим движение (КА) при помощи «солнечного паруса» под воздействием силы солнечного давления на парус. Согласно электромагнитному описанию света, импульс передается солнечному

парусу с помощью электромагнитных волн [1,2,4]. Сила солнечного давления на парус с нормалью  $\vec{n}$  и углом  $\alpha$  между нормалью паруса  $\vec{n}$  и линией солнце-центр паруса [4]:

$$F = \beta \frac{\mu}{r^2} \cos^2 \alpha \vec{n}, \quad (22)$$

где  $\beta$  - безразмерный управляемый параметр паруса,  $0 < \beta \leq \beta_{\max}$ ,  $\mu$  - гравитационный параметр Солнца. Пример конструкции солнечного паруса с управляемым параметром  $\beta$  приведен в работах [6,7]. Уравнения движения КА с солнечным парусом в плоскости орбиты имеют вид (1),(2), где:

$$U_r = \frac{\beta \cos^3 \alpha}{r^2}, U_\theta = \frac{\beta \sin \alpha \cos^2 \alpha}{r^2} \quad (23)$$

- радиальная и трансверсальная составляющие вектора тяги солнечного паруса [1,2,4]. Рассмотрим случай реализации управлений (12),(13) только тягой солнечного паруса. Найдем значения  $\beta, \alpha$  при которых выполнены оба равенства (23). Решение системы уравнений (23) относительно параметров  $\beta, \alpha$  имеет вид:

$$\beta(t) = \left( U_r^{2/3}(t) + \frac{U_\theta^2(t)}{U_r^{4/3}(t)} \right)^{3/2} r^2(t), \quad \text{ctg } \alpha(t) = \frac{U_r(t)}{U_\theta(t)}. \quad (24)$$

При краевых условиях п.2.4.1, график функции  $\beta(t)$  - решения системы (23) представлен на рис.9; график  $\alpha(t)$  представлен на рис.8. В этом случае  $\beta_{\max} = \max_{t \geq 0} \beta(t) \leq 14$ . Отметим, что изменение параметров  $T_1, T_2$  в (10), (11) позволяет уменьшить  $\beta_{\max}$  (увеличив при этом время прихода на целевое множество).

При краевых условиях п.2.4.2, график функции  $\beta(t)$  - решения системы (23) представлен на рис.12; график  $\alpha(t)$  представлен на рис.18. В этом случае  $\beta_{\max} \leq 1$ .

**Утверждение.** Если на каком либо подотрезке времени регулирования (21), параметр  $\beta(t)$  солнечного паруса удовлетворяет соотношению,  $\beta(t) \leq \beta_{\max}$ , то тяга паруса может уменьшить или заменить тягу реактивного двигателя (12),(13) для экономии топлива. Если для моментов времени  $t$ :  $\beta(t) \geq \beta_{\max}$ , то тяга солнечного паруса при реализации управления (12),(13) может рассматриваться только как дополнение к реактивной тяге.

### Заключение

В статье рассмотрена задача перелета на заданную кеплеровскую орбиту управляемого КА, динамика которого описывается математической моделью движения при гравитационном и световом воздействии на КА Солнца. Двигательная система предполагается гибридной, включающей реактивный двигатель, имеющего запас горючего и солнечного паруса. Наличие гибридной двигательной системы



позволяет уменьшать расход топлива в процессе перелета. Перелет характеризуется временем его исполнения. При малом времени перелета основной вклад в формирование результирующей тяги отводится реактивному двигателю. При большом времени перелета возрастает вклад солнечного паруса в формирование результирующей тяги. Приведенные в статье управляющие функции позволяют оценить полезность наличия солнечного паруса в гибридной двигательной системе при заданных параметрах целевой орбиты, начальных условиях движения и желательном времени перелета на целевую орбиту.

Авторы благодарят д.ф.м.н. М.С.Никольского, д.ф.м.н. Н.Л.Григоренко за обсуждение результатов работы.

### Литература

1. *Гродзовский Г.Л., Иванов Ю.Н., Токарев В.В.* Механика космического полета: Проблемы оптимизации. – М.: Наука, 1975. 702 с.
2. *Охоцимский Д.Е., Сихарулидзе Ю.Г.* Основы механики космического полета. М.Наука, 1990, 448 с.
3. *Колесников А.А.* Новые нелинейные методы управления полетом. Физматлит. 2013. 196 с.
4. *Colin R. McInnes* Solar Sailing, Technology, Dynamics and Mission Applications. 2004 Springer. 321 p.
5. *Ким Д.П.* Теория автоматического управления. Физматлит. 2007. 440 с.
6. *A. Caruso, G. Mengali, A. A. Quarta, L. Niccolai* Solar sail optimal control with solar irradiance fluctuations, *Advances in Space Research*, Elsevier, <https://doi.org/10.1016/j.asr.2020.05.037>
7. *J. B. Pezent, R. Sood, A. Heaton* Contingency target assessment, trajectory design, and analysis for NASA's NEA scout solar sail mission, *Advances in Space Research*, <https://doi.org/10.1016/j.asr.2020.02.004>